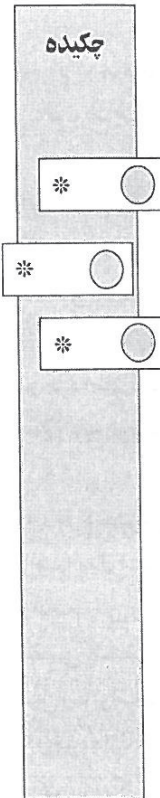


## مقایسه حداکثر بارش محتمل با مقادیر بارش های طراحی روزانه برای دوره های بازگشت مختلف در منطقه همدان

صفر معروفی<sup>۱</sup>

(تاریخ پذیرش نهایی مقاله: ۸۵/۷/۳)

در این مطالعه، مقدار بارندگی حداکثر محتمل با مقادیر حداکثر بارندگی های روزانه، برای دوره های بازگشت مختلف، در سطح استان همدان مورد مقایسه قرار گرفته است. بدین منظور ابتدا مقدار PMP چهارده ایستگاه هواشناسی از حوضه های آبریز رودخانه های گاماسیاب و سیمینه رود (قره چای) که در استانهای کرمانشاه و همدان واقع شده اند، براساس روش هرشفیلد و با استفاده از آمار بلندمدت بارندگی حداکثر ۲۴ ساعته محاسبه شد. سپس مقادیر بارندگی حداکثر روزانه گسترش یافته هر ایستگاه براساس مناسب ترین توزیع احتمالاتی، برای دوره های بازگشت ۲ الی ۱۰۰۰ ساله محاسبه شد. در مرحله بعد، این مقادیر احتمالاتی بارندگی حداکثر روزانه ایستگاه های مورد نظر با مقادیر PMP نظری آن مقایسه گردید. نتایج بدست آمده نشان می دهد، اگرچه در سطح ایستگاه های منطقه مقادیر PMP بین ۱۵۱ و ۴۸۵ میلیمتر در نوسان بوده، ولی متوسط ضریب تغییرات آنها ۲۹ درصد می باشند. میزان ضریب تغییرات بارندگی حداکثر روزانه نیز بین ۲۲ و ۵ درصد (میانگین ۲۶ درصد) در نوسان بوده و با افزایش دوره بازگشت (به خصوص پس از دوره بازگشت ۱۰۰ ساله) افزایش می یابد. نسبت بارندگی حداکثر روزانه به بارندگی حداکثر محتمل برای دوره های بازگشت مختلف بین ۱۲ و ۵۰٪ تغییر نموده و با افزایش دوره بازگشت، زیاد می شود. در صورتی که میزان متوسط ضریب تغییرات نسبت مذکور برای دوره های بازگشت مختلف، دارای تغییرات کمتری است و به طور متوسط ۱۴ درصد می باشد. ضریب همبستگی بین مقادیر بارندگی حداکثر محتمل و مقادیر نسبت بارندگی حداکثر روزانه به بارندگی حداکثر محتمل برای دوره های



بازگشت مختلف، متغیر بوده و بهترین ضریب هبستگی مربوط به بارندگی حداکثر روزانه با دوره بازگشت ۱۰۰۰ ساله است که در حدود ۷٪ می‌باشد. نتایج بدست آمده همچنین نشان می‌دهند که بارندگی حداکثر ۲۴ ساعته با دوره بازگشت ۱۰۰۰ ساله منطقه، در حدود ۵٪ درصد مقدار PMP می‌باشد که می‌تواند الگوی مناسبی برای کنترل تخمین حداکثر بارش محتمل، به خصوص در شرایطی که آمار مناسب و کافی وجود نداشته باشد، بشمار آید.

**کلمات کلیدی:** بارندگی حداکثر محتمل، بارندگی حداکثر روزانه، سیمینه رود (قره چای)، گاماسیاب.



#### مقدمه

همه ساله مبالغ هنگفتی صرف اجرای طرحهای زیربنایی منابع آب نظیر سدهای انحرافی و مخزنی به منظور بهره‌برداری از منابع آبهای سطحی می‌شود. یکی از مهمترین بخش‌های اینگونه طرحها، تعیین ظرفیت سریزهای خروجی، جهت حذف خطرات جانی ناشی از آنها می‌باشد. حداکثر سیلا布 محتمل<sup>۱</sup> معیار طراحی سریزهای خروجی اضطراری سدهایی است که مخزنی با ظرفیت بیش از ۶۰ میلیون مترمکعب و ارتفاع هیدرولیکی بیشتر از ۳۰ متر دارند. این سیلا布 حداکثر محتمل که ممکن است در یک منطقه جاری گردد، با توجه به حداکثر بارندگی محتمل<sup>۲</sup> محاسبه می‌شود. طبق تعریف، حداکثر بارندگی محتمل، مقدار مشخصی از باران است که با یک دوام معین از سال، در محدوده مشخصی با توجه به شرایط فیزیکی و اقلیمی قابل وقوع می‌باشد<sup>[۶ و ۱۷]</sup>. در صورت وجود اطلاعات کافی ممکن است حداکثر بارندگی محتمل به صورت منحنی‌های هم مقدار برای مناطق وسیع ترسیم گردد<sup>[۱]</sup>.

روش‌های بسیاری برای تخمین حداکثر سیل محتمل با توجه به موقعیت منطقه، در دسترس بودن داده‌ها و سایر عوامل ارایه شده است<sup>[۱۳ و ۱۴]</sup>. از این روش‌ها می‌توان (الف) مدل سیل ساختگی، (ب) حداکترسازی و انتقال سیل‌های موجود، (ج) استفاده از داده‌های معمولی و یا داده‌های حداکثر سیلا به نظری عمق، تداوم و پهنگ سیل که از تعداد زیادی سیلا واقعی اشتقاق یافته‌اند، (د) بکار گیری فرمول‌های تجربی که با توجه به حداکثر عمق، تداوم و پهنگ سیل و یا براساس تئوری جریان تعیین شده‌اند، (ه) استفاده از روابط تجربی که بین متغیرهای مختلف وجود دارند در شرایطی که داده‌های موجود کامل و جامع باشند و همچنین آنالیز آماری داده‌های حداکثر بارندگی را

1. Probable Maximum Flood (PDM)

2. Probable Maximum Precipitation (PMP)

ذکر نمود[۷].

به طور کلی حداکثر سیل محتمل بر اساس دو روش آماری و سینوپتیکی برآورد می گردد[۲]. در روش سینوپتیکی (فیزیکی) که بر اساس مطالعه رگبار شدید استوار است، پس از اعمال ضرایبی برای حداکثر نمودن مقادیر رگبارها، حداکثر بارش محتمل با توجه به شرایط کوهستانی و یا غیرکوهستانی بودن، تعیین می شود. در روش آماری که مبتنی بر تحلیل آمار بارندگی حداکثر روزانه می باشد، ممکن است بر اساس روش هرشفیلد و یا بت لاهمی صورت گیرد [۳، ۹ و ۱۰]. در این روشها، مقدار حداکثر بارش محتمل با توجه به معادله عمومی فرکانس که توسط چاو ارایه شده است [۴ و ۵]، محاسبه می شود. سازمان هوافضای جهانی کاربرد روش هرشفیلد را برای شرایط پیشنهاد نمود که داده های بلندمدت بارندگی روزانه وجود داشته و لی آمار دمای نقطه شبنم دارای کمبود باشد [۱۵ و ۱۶]. تجزیه و تحلیل مستقیم داده های بارندگی حداکثر روزانه و بررسی روابط آن با سیل حداکثر محتمل، از دیگر مواردی است که مورد توجه محققان بوده است [۸، ۱۱ و ۱۲]. تجزیه و تحلیل منطقه ای و فصلی بارش های حداکثر روزانه و سالانه می تواند در طراحی سریز های خروجی سدها، آبگذر های زیر بزرگ اها، تاسیسات کنترل سیلاب شهری و غیره مفید باشد. این روشها می توانند در تعیین سیل حداکثر محتمل، تجزیه و تحلیل سیلابها، به خصوص در شرایطی که آمار کافی و یا دقیقی از ایستگاه های بارانسنجی وجود ندارد بکار برده شوند. بدین منظور معمولاً با استفاده از یکی از توزیع های آماری و بر اساس مقادیر بارندگی حداکثر روزانه یک دوره آماری بلندمدت یک ایستگاه و یا منطقه، می توان مقادیر بارش طراحی و یا حداکثر بارش محتمل را برابر دوره بازگشت های مختلف تخمین زد.

هدف اصلی این مطالعه، مقایسه مقادیر بارندگی حداکثر محتمل با مقادیر حداکثر بارندگی روزانه در دوره های بازگشت مختلف در سطح استان همدان، به منظور پیش بینی حداکثر بارندگی محتمل آن است، تا در صورت کمبود آمار در یک منطقه به خصوص از این استان، بتوان با توجه به میزان نسبت های مربوطه، آن را به گونه ای تخمین زد که به واقعیت نزدیکتر باشد.

## مواد و روش ها

### انتخاب ایستگاه های شاخص

در این مطالعه به منظور مقایسه حداکثر بارش محتمل با مقادیر حداکثر بارندگی های روزانه از داده های بلندمدت روزانه ایستگاه های سینوپتیک نوژه، فرودگاه همدان، ملایر و همچنین ایستگاه های بارانسنجی و تبخرسنجی قهاروند، گوشه نهادن، گیتو، آران، آغاجابlaghi، فیروزآباد، زهران،

قوزلو، سلطان بلاغ، ده اروان و ورآینه استفاده شده است. انتخاب ایستگاه های بارانسنجی با توجه به در دسترس بودن آمار، توزیع مناسب منطقه ای، طول دوره آماری و حتی المقدور هم دوره بودن اطلاعات ایستگاه ها در دوره های آماری بیش از ده سال انجام گردید. طول دوره آماری ایستگاه های منتخب بین ۱۳ تا ۳۵ سال است. این ایستگاه ها که در جدول ۱ مشخصات آنها ارایه شده، در بخش های شمالی، مرکزی و جنوبی استان همدان و در حوضه های آبریز رودخانه های گاماسیاب (کرخه) و سیمینه رود (قره چای) که به ترتیب به خلیج فارس و دریاچه قم می ریزند، قرار گرفته اند.

جدول ۱ - مشخصات ایستگاه های مختلف مورد استفاده برای محاسبه حد اکثر بارش محتمل

ردیف	ایستگاه	نوع ایستگاه	عرض شمالی	طول شرقی	ارتفاع از سطح دریا (متر)
۱	فروندگاه همدان	سینوپتیک	۲۴-۵۱	۴۸-۳۲	۱۷۴۹
۲	ملایر	سینوپتیک	۲۴-۱۷	۴۸-۴۹	۱۷۴۰
۳	نوژه همدان	سینوپتیک	۲۴-۵۱	۴۸-۳۲	۱۷۴۹
۴	قوزلو	تبخیرستجی	۲۵-۲۸	۴۸-۰۷	۲۰۰۰
۵	آغاجانبلاغی	تبخیرستجی	۳۴-۵۰	۴۸-۰۳	۱۷۱۰
۶	ورآینه	تبخیرستجی	۳۴-۰۵	۴۸-۲۴	۱۸۰۰
۷	فیروزآباد	تبخیرستجی	۳۴-۲۱	۴۸-۰۷	۱۵۰۰
۸	قهاوند	تبخیرستجی	۳۲-۵۱	۴۸-۱۹	۱۶۳۰
۹	گوشنه نهادوند	باران سنجی	۳۴-۱۷	۴۸-۱۴	۱۵۲۰
۱۰	آران	باران سنجی	۳۴-۲۵	۴۷-۵۵	۱۴۴۰
۱۱	ده اروان	باران سنجی	۳۵-۳۷	۴۹-۱۰	۱۸۵۰
۱۲	زهتوان	باران سنجی	۳۵-۱۵	۴۹-۰۸	۱۷۵۰
۱۳	سلطان بلاغ	باران سنجی	۳۵-۳۲	۴۹-۱۱	۱۸۵۰
۱۴	گیتو	باران سنجی	۳۵-۱۹	۴۸-۱۰	۲۱۰۰

#### تصحیح و تکمیل دوره آماری بارندگی ایستگاه ها

پس از انتخاب ایستگاه ها، دوره شاخص آماری مطالعات، براساس طولانی ترین دوره آماری موجود ایستگاه های مورد مطالعه، دوره ۱۳۴۵-۸۴ بوده است. پس از تعیین دوره شاخص آماری، جهت تصحیح و تکمیل داده ها اقداماتی به شرح زیر انجام گردید:

۱ - ابتدا با توجه به اینکه ثبت آماری سازمان هواشناسی طبق سالهای میلادی و وزارت نیرو

براساس سال های شمسی و سال آبی می باشد، لذا آمار ایستگاه های انتخابی متعلق به سازمان هواشناسی به ساختاری نظیر آمارهای ثبت شده وزارت نیرو، تبدیل شد.

۲ - پس از آمار ایستگاه های انتخابی فوق الذکر، به کمک نرم افزار CFA88، آزمونهای با

فرضیات ذیل انجام شد: (الف) در هر ایستگاه آمار بارندگی های سالانه در سطح ۵٪ یک سری تصادفی را تشکیل می دهند، (ب) در هر ایستگاه آمار بارندگی های سالانه در سطح ۵٪ ارقام مستقل را از هم تشکیل می دهند، (ج) در هر ایستگاه آمار بارندگی های سالانه در سطح ۵٪ روند مشخصی را نشان نمی دهد، (د) در هر ایستگاه آمار بارندگی های سالانه در سطح ۵٪ ارقام همگنی را تشکیل می دهد.

-۳ در مرحله بعد با استفاده از نرم افزار HEC-4<sup>۱</sup>، با ایجاد روابط همبستگی مناسب (در سطح ۱۰٪) بین متغیرهای استاندارد لگاریتم ارقام نظیر بارندگی های سالانه کلیه ایستگاه های انتخابی، نسبت به گسترش دوره آماری آنها تا حد دوره آماری (۸۴-۱۳۴۵) اقدام گردید.

#### تحلیل فراوانی حداکثر بارندگی ۲۴ ساعته ایستگاه ها

به منظور برآورد مقادیر حداکثر بارندگی های ۲۴ ساعته ایستگاه ها در دوره های بازگشت مختلف، ابتدا بیشترین بارندگی ۲۴ ساعته سالانه در طول دوره آماری هر ایستگاه استخراج و سپس به کمک نرم افزار Hyfa<sup>۲</sup>، با هفت توزیع آماری مختلف برآش داده شد. پارامترهای توزیع های استفاده شده به روش های مستقیم گشتوارها<sup>۳</sup>، غیرمستقیم گشتوارها<sup>۴</sup> و حداکثر درستنمایی<sup>۵</sup> برآورد شدند. در مرحله بعد براساس کمترین مقادیر میانگین انحراف نسبی<sup>۶</sup> و میانگین مریع انحراف نسبی<sup>۷</sup>، مناسب ترین توزیع آماری منطبق بر آمار حداکثر بارندگی های ۲۴ ساعته ایستگاه های مورد نظر تعیین و مورد استفاده قرار گفت. با توجه به این روش، مقادیر حداکثر بارش روزانه ایستگاه های مورد نظر، برای دوره های بازگشت مختلف (Return period: T)، ۱۰۰، ۲۰۰، ۴۰۰، ۵۰۰ و ۱۰۰۰ ساله محاسبه گردید.

#### بررسی ویژگی های بارش ایستگاه ها

پس از بررسی کنترل و صحت داده ها با توجه به آمار روزانه تطویل یافته ایستگاه های مورد نظر، ابتدا مقادیر ماهانه، فصلی و سالانه داده های بارندگی و پارامتر های بلندمدت آنها محاسبه شد. در مرحله بعد مقادیر درصد توزیع فصلی داده های مورد نظر، نسبت به مقادیر بلندمدت سالانه محاسبه گردید.

- 1. Hydrology Frequency Analysis
- 2. Direct Method of Moments
- 3. Indirect Method of Moments
- 4. Maximum Likelihood procedure
- 5. MRD
- 6. MSRD

### مقادیر حداکثر بارندگی محتمل

با توجه به روش آماری هر شفیلد حداکثر بارش محتمل ایستگاه های مورد نظر برآورده شد [۹ و ۱۰]. هر شفیلد براساس فرمول عمومی تناوب، رابطه PMP را به صورت ذیل ارایه نموده است:[۴]

$$PMP = \bar{X}_n + K_m \sigma_n \quad (1)$$

که در آن PMP حداکثر بارندگی محتمل روزانه،  $\bar{X}_n$  میانگین داده ها،  $\sigma_n$  انحراف معیار داده ها و  $K_m$  ضریب فرکانس است.

در این روش تصحیحاتی در رابطه با طول دوره آماری، محدوده زمانی ثابت مشاهداتی و مقادیر حداکثر آنها وجود دارد که ضرایب مربوطه آنها با استفاده از جداول و نمودارها بدست می آید. پس از اعمال ضرایب تصحیحاتی، رابطه فوق برای منطقه مورد نظر به صورت زیر خواهد شد:

$$PMP = 1.13 (\bar{X}_n + K_m \sigma_n) \quad (2)$$

### نتایج و بحث

#### توزیع بارش های ماهانه و فصلی

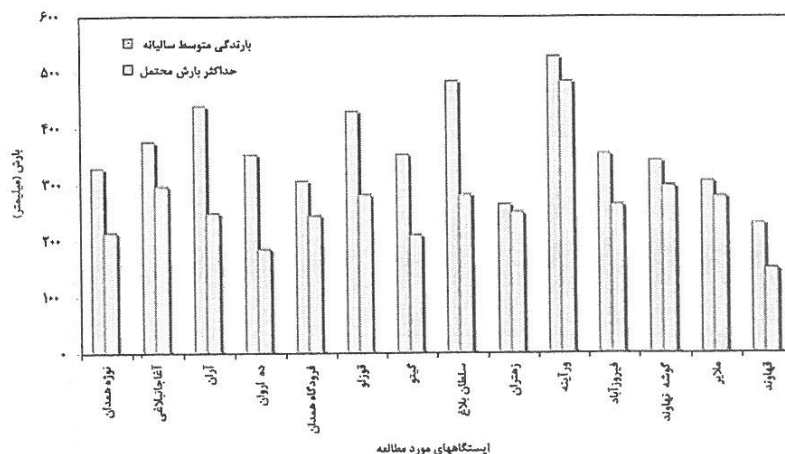
بررسی مقادیر داده های فصلی بارندگی ایستگاه های مورد نظر نشان می دهد که توزیع بارندگی فصول بهار، تابستان، پاییز و زمستان به ترتیب حدود ۳۱، ۱، ۳۹ و ۲۹ درصد می باشد. تغییرات باران ماهانه نیز ۰، ۱۶ تا ۲۰ درصد و به طور متوسط ۸ درصد است. بیشترین میزان بارندگی در فصل زمستان و به خصوص در اسفند ماه می باشد.

#### فرکانس مقادیر حداکثر بارش روزانه

با توجه به مقادیر حداکثر بارش روزانه ایستگاه های مورد نظر و روش های مختلف احتمالاتی، برای هر ایستگاه براساس مناسبترین توزیع آماری منطبق بر داده ها، مقادیر احتمال وقوع (دوره های بازگشت مختلف) حداکثر بارش روزانه محاسبه شد که نتایج آنها در جدول ۲ آورده شده است. همچنین شکل ۱ نشان می دهد که ضریب تغییرات حداکثر بارندگی روزانه بین ۲۲ و ۵۰ درصد (میانگین ۲۶ درصد) در نوسان بوده و با افزایش دوره بازگشت، به خصوص پس از دوره بازگشت ۱۰۰ ساله افزایش می یابد.

جدول - مقادیر بازندگی های حداکثر روزانه برای دوره های بازگشت مختلف (میلیمتر)

دوره بازگشت (سال)										ردیف	اسنادگاه
۱۰۰۰	۱۰۰	۵۰۰	۱۰۰	۵۰	۲۵	۲۰	۱۰	۵	۲		
۱۰۴	۸۲	۷۵	۶۰	۵۶	۵۲	۴۷	۴۱	۳۵	۲۸	۱	نوژه همدان
۱۵۲	۱۲۱	۱۱۲	۹۰	۸۱	۷۵	۶۹	۵۹	۴۹	۳۴	۲	آغاجابداغی
۸۵	۷۲	۶۵	۵۲	۴۶	۴۰	۳۷	۳۳	۲۹	۲۴	۳	آزان
۸۴	۷۰	۶۷	۵۴	۵۱	۴۷	۴۵	۴۰	۳۵	۲۹	۴	ده اروان
۸۵	۶۶	۵۵	۵۰	۴۷	۴۴	۴۰	۳۹	۳۴	۲۸	۵	فرویدگاه همدان
۱۳۴	۱۰۹	۱۰۰	۸۰	۷۲	۶۷	۶۰	۵۵	۴۶	۳۵	۶	قورزو
۱۱۴	۹۱	۸۵	۶۹	۶۲	۵۸	۵۵	۴۹	۴۰	۳۱	۷	گیتو
۱۱۷	۹۵۴	۸۷	۷۴	۶۸	۶۲	۵۷	۵۳	۴۳	۳۴	۸	سلطان پالاغ
۱۲۷	۸۴	۷۲	۵۴	۴۵	۴۱	۳۸	۳۱	۲۷	۲۰	۹	زهشتان
۳۵۸	۲۳۷	۲۰۷	۱۴۷	۱۲۳	۱۰۴	۹۸	۸۰	۶۶	۴۴	۱۰	ورآینه
۱۰۸	۸۹	۸۲	۷۰	۶۴	۵۸	۵۴	۵۰	۴۴	۳۵	۱۱	فیروز آباد
۱۹۲	۱۱۱	۱۰۲	۸۳	۷۴	۶۶	۵۹	۵۵	۴۶	۳۲	۱۲	ملادیر
۱۴۵	۱۱۳	۱۰۴	۸۵	۸۴	۷۷	۶۶	۵۷	۴۷	۳۴	۱۳	گوشنه نهادون
۱۰۴	۸۱	۷۸	۵۱	۴۵	۴۰	۳۸	۳۳	۲۸	۲۰	۱۴	قهاوند



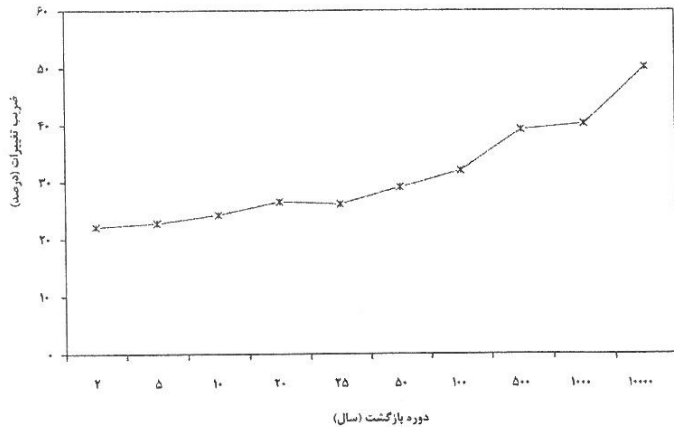
شکل ۱ - ضریب تغییرات حداکثر بارش روزانه ایستگاه های منطقه برای دوره های بازگشت مختلف

#### مقادیر حداکثر بارندگی محتمل

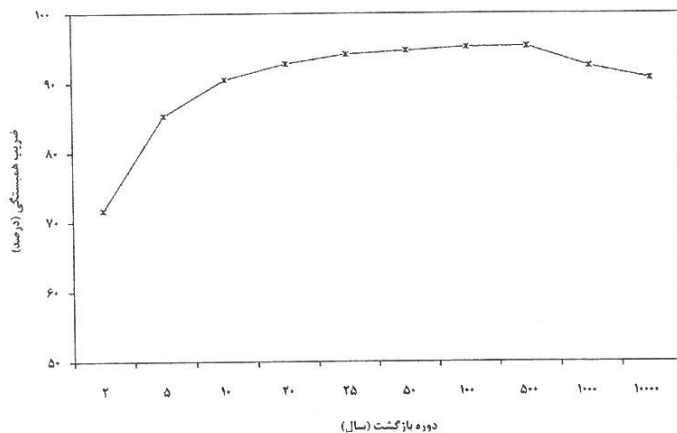
حداکثر بارش محتمل ایستگاه های مورد نظر براساس روش هرشفیلد برآورد گردید. شکل ۲ نتایج مربوطه را نشان می دهد. در این شکل علاوه بر مقادیر PMP، مقادیر بارش متوسط بلندمدت هر منطقه نیز جهت مقایسه نشان داده شده است. در سطح منطقه مقادیر PMP به طور متوسط در حدود ۷۳ درصد بارندگی بلندمدت سالانه می باشند. مقادیر PMP ایستگاه های مورد مطالعه بین ۱۵۱ و ۴۸۵ میلیمتر در نوسان بوده و دارای متوسط ضریب تغییرات حدود ۲۹ درصد می باشد.

بین مقادیر حداکثر بارش روزانه در دوره های بازگشت مختلف و مقدار PMP متناظر ایستگاه های مورد مطالعه ضرایب همبستگی (۱) مورد بررسی قرار گرفت که تغییرات آنها بین ۹۵ درصد و ۹۰ درصد است. نتایج مربوطه نشان می دهد که با افزایش دوره بازگشت، میزان ضریب همبستگی (۲) افزایش می یابد ولی در دوره های بازگشت ۱۰۰ و ۱۰۰۰ و ۱۰۰۰۰، این همبستگی ها اندکی کاهش می یابند (شکل ۳).

همچنین مقادیر حداکثر بارش روزانه برای دوره های بازگشت مختلف نسبت به مقدار حداکثر بارش محتمل ( $P_{\text{P}}/\text{PMP}$ ) مربوط به هر یک از ایستگاه ها، مورد مقایسه قرار گرفت. نتایج مربوطه نشان می دهد نسبت های مذکور بین ۱۲٪ تا ۵۰٪ متغیر می باشد. بیشترین میزان مربوط به نسبت بین بارش ۱۰۰۰ ساله و حداکثر بارش محتمل ( $P_{10000}/\text{PMP}$ ) است.



شکل ۲- مقایسه بارندگی حداقل بلند مدت و حداقل بارش ممکن ایستگاه های مورد مطالعه



شکل ۳- ضرایب همبستگی بین حداقل بارش روزانه و حداقل بارش محتمل برای دوره های بازگشت مختلف

با توجه به اینکه متوسط ضریب تغییرات نسبت های مذکور در بین ایستگاه های مختلف حدود ۱۴ درصد است و از طرفی ضریب همبستگی ( $r$ ) بین  $P_{10000}/PMP$  و  $PMP$  محاسبه شده، حدود ۷۱ درصد می باشد، در صورت عدم اطلاعات لازم برای محاسبه دقیق  $PMP$ ، از داده های بارش با دوره برگشت ۱۰۰۰ ساله می توان برای تخمین قریب به یقین  $PMP$  استفاده کرد و یا مقادیر محاسبه

شده را کنترل نمود، به خصوص در شرایطی که آمار مربوطه کوتاه مدت بوده و یا قابل اعتماد نباشد.

#### منابع

- ۱ خلجمی پیربلوطی، مهدی و علیرضا، سپاسخواه، ۱۳۸۱، رسم منحنی های حداکثر بارش محتمل ۲۴ ساعته با روش های مختلف آماری و مقایسه آن با روش سینوپتیکی برای ایران. مجله علوم و فنون کشاورزی و منابع طبیعی، جلد ششم، شماره اول، بهار.
  - ۲ رشتی، ژاله، ۱۳۷۱، برآورد حداکثر بارش محتمل به روش های مختلف، مطالعه موردي برای حوضه آبریز طالقان، پایان نامه کارشناسی ارشد، دانشکده کشاورزی، دانشگاه تهران.
- 
3. Bethlahmy, N., 1984, Long-term Hydrologic Events from Short-term Records, Journal of Hydrology, 68, 141-148.
  4. Chow, V.T., 1951, A General Formula for Hydrologic Frequency Analysis, Trans. Am. Geophys. Union 32, 231-237.
  5. Chow, V.T., 1954, The Log-probability Law and its Engineering Applications, Proc., ASCE, (80), 1-25.
  6. Chow, V.T., D., Maidment and L.W., May, 1988, Applied Hydrology, McGraw Hill International, London.
  7. Collier, C.G. and Hardaker, P.J., 1996, Estimation Probable Maximum Precipitation Using a Storm Model Approach, Journal of Hydrology, 183, 277-306.
  8. Desa, M., M., Noriah, A., B., and Rakhecha, P., R., 2001, Probable Maximum Precipitation for 24h Duration over Southeast Asian Monsoon Region-Selanger, Malaysia, Atmospheric Research, 58, 41-54.
  9. Hershfield, D., M., 1961, Estimating the Probable Maximum Precipitation, Journal of Hydraul. Div., ASCE (87), HY5, 99-116.
  10. Hershfield, D., M., 1965, Method for Estimating the Probable Maximum Precipitation, Journal of Am., Water Works Assoc., 57, 965-972.
  11. Thompson, C., S., 1993, Estimation of Probable Maximum Floods from the Southern Alps, New Zealand, IAHS Publ., 213.

12. Tomlinson, A., I., and Thompson, C., S., 1992, Probable Maximum Precipitation in New Zealand, New Zealand Meteorological Service, Wellington, Rep., May, 213 pp.
13. Wang, B., H., 1984, Estimation of Probable Maximum Precipitation, Case Studie, Journal of Eng., 110: 1457-1471.
14. Wienser, C., J., 1970, Hydrometeorology, Chapman and Hall, London, 232 pp.
15. Word Meterological Organization, 1969, Estimation of Probable Maximum Floods, WMO Tech., Note No. 98, TP-126.
16. Word Meterological Organization, 1970, Guide to Hydrometeorological Practices, WMO No. 168, TP-82.
17. Word Meterological Organization, 1986, Manual for Estimation of Probale Maximum Precipitation, Operational Hydrology Report No. 1, 2nd edn., WMO, No. 332, p. 269.

